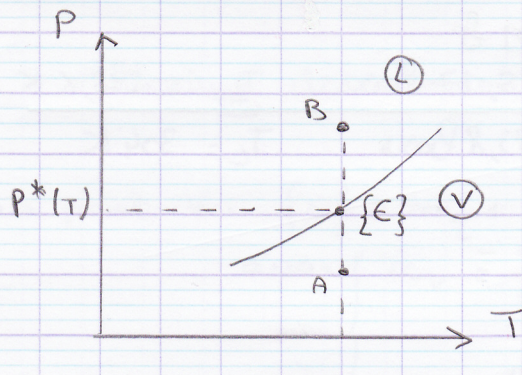


T6 - Transition de phases

I Equilibre d'un corps pur sous deux phases

4) Pression de vapeur saturante



A: phase gazeuse $x_v = \frac{m_v}{m} = 1$
 $\{\epsilon\}$: polyèdre de chgt d'état physique

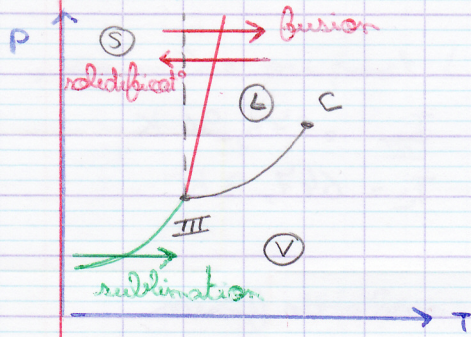
$$\begin{aligned} \text{ou } & \textcircled{V} \rightarrow \textcircled{L} \\ & \textcircled{L} \rightarrow \textcircled{V} \end{aligned} \quad \left\{ \begin{array}{l} x_v + x_l = 1 \end{array} \right.$$

B: phase liquide

$$x_l = \frac{m_l}{m} = 1$$

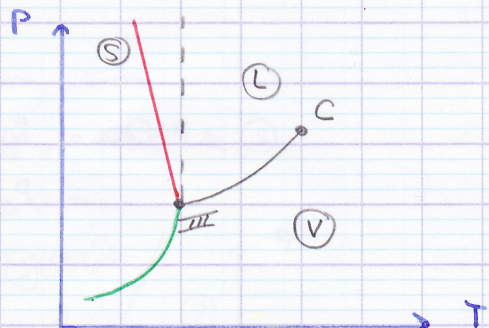
5) Diagramme (P, T) d'un corps pur

2 types de corps purs:



① Cas usuel

$$\left(\frac{dP}{dT} \right)_{\text{fusion}} > 0$$



② Cas de l'eau

$$\left(\frac{dP}{dT} \right)_{\text{fusion}} < 0$$

III: Point triple du corps pur

À un point III le corps pur est dans 3 phases (S, L, V)

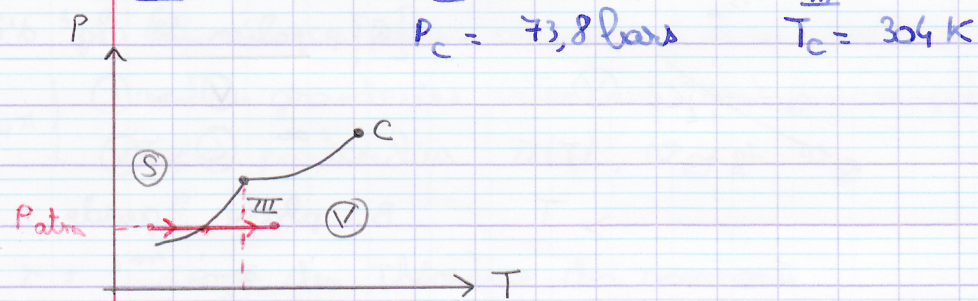
$$\hookrightarrow \text{Nr} = C + 2 - 4 = 0$$

$\hookrightarrow P_{\text{III}}$, T_{III} et Nr_{III} sont fixées pour un corps pur donné.

[Point Critique C]

À un de la des points critiques on ne fait pas de différence entre phase vapeur et phase liquide
On parle d'état fluide.

① Ex: CO_2 $P_{\text{III}} = 5,17 \text{ bars}$ $T_{\text{III}} = 216,6 \text{ K}$

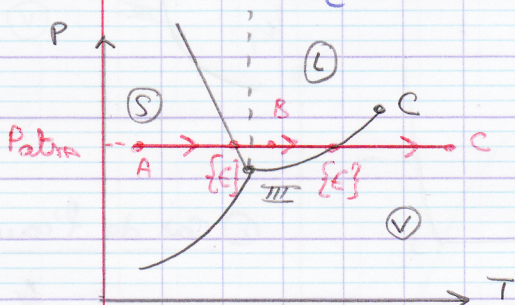


Ex: Benzène $(\frac{dP}{dT})_{\text{fusion}} = 3,125 \cdot 10^6 \text{ Pa.K}^{-1}$

Retenir \rightarrow courbe quasi verticale $(\frac{dP}{dT})_{\text{fusion}} \gg 1$

② H_2O : $P_{\text{III}} = 0,0061 \text{ bar}$ $T_{\text{III}} = 273,96 \text{ K}$

$P_c = 221 \text{ bar}$ $T_c = 647,3 \text{ K}$



Courbe de fusion

$P = P_{\text{atm}}$ | $\Theta \text{沸點}^\circ = 100^\circ\text{C}$
 $T_{\text{ébul}} = 373,15 \text{ K}$

(polier {E})

$$\left(\frac{dP}{dT}\right)_{\text{fusion}} \approx \frac{\Delta P}{\Delta T} = \frac{P_{\text{atm}} - P_{\text{III}}}{T_{\text{ébul}} - T_{\text{III}}}$$

$$= -1,007 \cdot 10^7 \text{ Pa.K}^{-1}$$

II) Diagrammes (P, α) et (T, s) pour l'équilibre Liquide-Vapeur

1) Isothermes d'Andreev. Courbe de saturation

a. Isothermes dans le diagramme de Clapeyron
cf poly

b. Courbe de saturation
cf poly

c. Théorème des éléments

- au point V : $\{s\} = m_2 + m_v = m$
avec $\{x_v\} = \frac{m_v}{m} \approx 100\%$

$$\left\{ \begin{array}{l} x_L = \frac{m_2}{m} \approx 0\% \end{array} \right.$$

$\hookrightarrow x_L + x_v = 1 \approx x_v$ donc $\alpha(V) \approx \alpha_V$
 Le volume massique de l'état Th $\{V\}$ ≈
 Le volume massique de la phase \textcircled{V} à la Temp T

- de même au point L : $\{s\} = m_2 + m_v = m$
 \uparrow
 $x_L + x_v = 1 \approx x_L$
 $\left\{ \begin{array}{l} x_v \approx 0\% \\ x_L \approx 100\% \end{array} \right.$

$\hookrightarrow \alpha(L) = \alpha_{\textcircled{L}}$
 Le volume massique de l'état Thermodynamique $\{L\}$
 Le volume massique de la phase liquide \textcircled{L}

- Dans l'état E : $\alpha_{\textcircled{L}} = \frac{V_L}{m_L}$ $m = m_2 + m_v$
 $\alpha_{\textcircled{V}} = \frac{V_v}{m_v}$ $\frac{V}{m} = \frac{\alpha_{\textcircled{L}} m_L}{m} + \frac{\alpha_{\textcircled{V}} m_v}{m}$
 $V = V_L + V_v$

$$\omega(E) = \alpha_L \omega_L + \alpha_V \omega_V$$

$\omega_L(E) = \omega_L(L) = \omega(L)$ = abscisse du point L

$\omega_V(E) = \omega_V(V) = \omega_V$ = abscisse du point V

en diagramme
(P, ω)

d: le système en 1 point du palier de cl^t d'état est diphasé donc non variant.

Comme ce palier correspond à une constante T, toutes les autres grandeurs intérieures sont fixées par la valeur de T, en particulier $\pi(T)$, ω_L et ω_V

Démonstration du théorème des moments

$$m_L + m_V = m \Rightarrow \alpha_L + \alpha_V = 1$$

$$V_L + V_V = V \Rightarrow \alpha_L \omega_L + \alpha_V \omega_V = \omega$$

1)

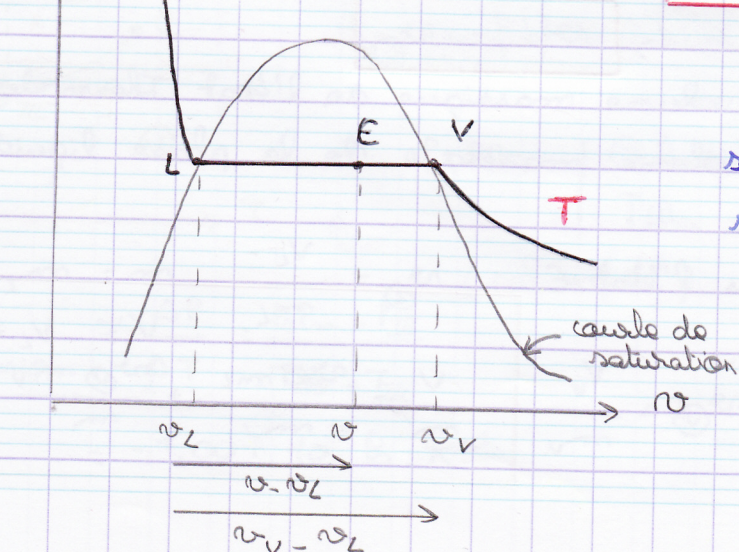
2)

$$\frac{1}{\omega} \rightarrow \omega = (1 - \alpha_V) \omega_L + \alpha_V \omega_V$$

$$\alpha_L = 1 - \alpha_V$$

$$\alpha_V = \frac{\omega - \omega_L}{\omega_V - \omega_L} \Rightarrow \alpha_V = \frac{\overline{L}E}{\overline{LV}}$$

$$\alpha_V = \frac{\overline{L}E}{\overline{LV}}$$



$$\alpha_V > 0,5$$

$$\alpha_L < 0,5$$